

بررسی تجربی و عددی هیدرودینامیک انژکتور مارپیچی و ارائه پارامترهای حل ساز گار با مشخصات اسپری

مازیار شفائی روشنی^۱، سعید فضلی خانی^۲

۱ استادیار، دانشکده علوم و فنون نوین، دانشگاه تهران، تهران، mshafaee@ut.ac.ir

۲ دانشجوی کارشناسی ارشد، دانشکده علوم و فنون نوین، دانشگاه تهران، تهران

تاریخ دریافت: ۱۳۹۵/۰۶/۱۰

تاریخ پذیرش: ۱۳۹۵/۰۸/۲۵

چکیده

استفاده از انژکتورهای مارپیچی از جمله روش‌های متداول و مناسب در اسپری مایعات است. در این مقاله، نخست عملکرد این نوع انژکتورهای تک‌پایه به‌روش تجربی مورد بررسی قرار گرفته است. سپس، اثر دو پارامتر هندسی مهم در این انژکتورها؛ یعنی قطر اوریفیس خروجی و زاویه مارپیچ، به‌عنوان کمیت‌هایی که اثر غالب دارند، بررسی شده است. نتایج تجربی نشان می‌دهد که کاهش زاویه مارپیچ و افزایش قطر اوریفیس خروجی، قطر میانگین ساوتر قطرات را افزایش می‌دهند. در ادامه، شبیه‌سازی عددی اسپری انژکتور پیچشی با استفاده از نرم‌افزار متن‌باز اوپن‌فوم در دو تست مختلف انجام و پارامترهای ضریب شکست اولیه و پارامتر توزیع در مدل عددی به‌صورتی سازگار با نتایج تجربی و در محدوده فشاری پایین ارائه شده است. نتایج عددی نشان می‌دهد که انتخاب مقادیر ۵ و ۳ برای ضریب شکست اولیه و همین‌طور مقادیر ۳ و ۲/۳ برای پارامتر توزیع به‌ترتیب در تست‌های اول و دوم، سرعت و توزیع اندازه قطرات حاصل از اسپری را با دقت خوبی پیش‌بینی می‌کند. با استفاده از ثابت‌های به‌دست‌آمده می‌توان اسپری مخروطی توخالی انژکتورهای مارپیچی در محدوده فشاری پایین (پایین‌تر از ۱۵ بار) را از این پس مستقل از نتایج تجربی مدل‌سازی کرد.

واژگان کلیدی

اسپری فشار پایین، انژکتور مارپیچی، سیستم اندازه‌گیری لیزری، قطر میانگین ساوتر، اوپن‌فوم^۱

۱. مقدمه

توربین‌های گازی و موتورهای موشک تبدیل شده‌اند. در این انژکتورها سیال به‌دلیل پیچشی که در محفظه داخلی انژکتور پیدا کرده، در نهایت با مومتموم بالای پیچشی از دهانه انژکتور خارج شده و اسپری حاصل به شکل مخروط توخالی و با نسبت سطح

از انژکتورها به‌طور گستره‌های در پروژه‌های صنعتی برای تبدیل مایع به قطرات استفاده می‌شود. انژکتورهای پیچشی از جمله پرکاربردترین نوع انژکتورها هستند که امروزه به یکی از ملزمومات اصلی جهت ایجاد احتراق مناسب در موتورهای احتراقی،

پیدا کنند که اگرچه جامع و فراگیر بود، اما بهدلیل غیرخطی بودن و عدم استفاده از فرض‌های ساده‌کننده، رابطه ایشان نیز پیچیده و غیرکاربردی شد [۵]. سرانجام سنکال و همکاران (۱۹۹۹) توانستند به کمک یک تحلیل صفربعدی اولاً محاسبات شکست اولیه ورقه مایع را مستقل از اندازه‌های داخلی انژکتور کرده و ثانیاً شکست مایع را براساس عدد ویر بحرانی ۱۶۸۷۵ مورد مطالعه قرار دهند [۶]. به این‌ترتیب که در اعداد ویر بالاتر از این مقدار، امواج با طول موج کوتاه (به اختصار امواج کوتاه^۰) و در اعداد ویر پایین‌تر از آن، امواج با طول موج بلند (به اختصار امواج بلند^۱) باعث ناپایداری ورقه مایع و سرانجام شکست آن می‌شوند. آنها در هر یک از رژیمهای موج بلند و کوتاه رابطه انتشار جداگانه ارائه دادند و شرایط شکست مایع را پیش‌بینی کردند. مدل شکست اولیه ارائه شده توسط ایشان، که به LISA معروف می‌باشد، در همان سال توسط اشmet و همکاران بهصورت یک مدل عددی پیاده‌سازی شد [۷]. ایشان برای شبیه‌سازی فرایند اتمیزاسیون اسپری از کار تجربی پریش (۱۹۹۷)، که در فشار تزریق ۴۸/۶ بار انجام‌شده بود، استفاده کردند [۸]. نتایج به دست آمده تطابق بسیار خوبی با نتایج تجربی در هر دو بعد کمی و کیفی داشت. بعد از آن مدل LISA به بسته‌های عددی و نرمافزاری مربوط به شبیه‌سازی اسپری اضافه شده و با رهایت محققان در فشارهای مختلف تزریق، مورد اطمینان‌سنجی قرار گرفت. شیم و همکاران (۲۰۰۸) با استفاده از مدل‌های ترکیبی شکست اولیه و ثانیه LISA و APTAB و همچنینتابع توزیع^۲ و دستگاه‌های PDA^۳ و LIEF^۴، اسپری مخروط توخالی یک انژکتور پیچشی را در چند فشار محيط مختلف و در فشار تزریق ۵۱ بار بهصورت عددی و تجربی مورد بررسی قراردادند [۹]. آنها به این نتیجه رسیدند که در فشار کاری مورد بررسی و در تمام فشارهای محيط، مدل ترکیبی آنها بهتر از مدل ترکیبی LISA و TAB مشخصات اسپری را پیش‌بینی می‌کند. با فکر و همکاران (۲۰۱۰) با بهکارگیری مدل‌های LISA و TAB اسپری حاصل از ایزواوکتان در فشارهای پاشش بالا (حدوداً ۳ تا ۶ مگاپاسکال) شبیه‌سازی و نتایج حاصل را با نتایج تجربی مقایسه کردند و نشان دادند که روش عددی آنها، که مبتنی بر ارائه کد متلب به نرمافزار فلوئنت بوده، بهخوبی می‌تواند مشخصه‌های اسپری نظیر طول نفوذ، اندازه قطرات و شکل کلی اسپری را نشان دهد [۱۰]. البداوي و همکاران (۱۹۹۱) آثار محيط را با توجه به آشفته‌بودن جریان گاز

به حجم بالا در محیط تخلیه می‌شود. انژکتورهای پیچشی بهطورکلی به‌واسطه نحوه ورود به محفظه انژکتور و نحوه القای پیچش به سیال، به دو دسته پیچشی - فشاری^۵ و پیچشی - مارپیچی (بهطور خلاصه مارپیچی^۶) تقسیم می‌شوند. در انژکتورهای پیچشی - فشاری سیال از طریق ورودی‌های مماسی و عمود بر محور انژکتور، مماس بر دیواره محفظه انژکتور وارد آن شده و به‌واسطه همین ورود مماسی شروع به گردش می‌کند. در انژکتورهای مارپیچی سیال بهطور محوری و به موازات محور انژکتور وارد محفظه انژکتور شده و بهدلیل مسیر مارپیچی‌شکل تعیینه شده در محفظه، شکل پیچشی پیدا کرده و بهصورت اسپری مخروطی توخالی از مقطع خروجی انژکتور خارج می‌شود [۱]. بهمنظور داشتن عملکرد مناسب در این انژکتورها، قطرات اسپری باید ویژگی‌های خاصی (قطر قطرات ریز و توزیع اندازه مناسب) داشته باشند. از این‌رو، جهت کنترل روی ویژگی‌های اسپری انژکتورها، بررسی تأثیر خواص فیزیکی جریان و پارامترهای هندسی برای رسیدن به یک حالت بهینه موردنیاز می‌باشد [۲].

مطالعات اولیه صورت گرفته روی مشخصه‌های اسپری از جمله زاویه اسپری، طول نفوذ، رابطه سرعت اسپری و قطر میانگین ساوتر^۷ و مباحثی چون شکست مایع، برخورد قطرات و تبخیر آنها به ارائه مدل‌هایی برای توصیف این پدیده‌ها در اسپری منجر شد. قطر متوسط ساوتر طبق تعریف معادل قطر قطره‌ای است که نسبت حجم به سطح آن برابر با نسبت حجم به سطح مجموع قطرات است.

هان و همکاران (۱۹۹۷) با بررسی یک اسپری مخروطی توخالی، مدل شکست اولیه Blob را ارائه کردند [۳]. در این مدل ابتدا حباب‌های مایع با قطری برابر با خصامت ورقه مایع به محیط بیرون تزریق می‌شوند. این قطرات، در ادامه برای شکل‌گرفتن قطرات کروی کوچکتر تحت مدل شکست ثانویه قرار می‌گیرند. این مدل شکست اگرچه به لحاظ کاربردی بسیار ساده و قابل فهم بود، اما ناپایداری‌های حاصل از امواج را روی ورقه مایع در نظر نمی‌گرفت. دمبروسکی و جونز (۱۹۶۳) به بررسی امواج ناپایدارکننده روی شکست ورقه مایع پرداختند [۴]. آنها رابطه‌ای بین اندازه قطرات و طول موج امواج ناپایدارکننده روی سطح مایع یافته‌ند که چون تنها امواج با طول موج بلند را مسیب شکست ورقه مایع می‌دانستند، رابطه آنها عمومیت نداشت. بعدها لی و تانکین (۱۹۹۱) توانستند رابطه انتشار را برای نرخ رشد امواج ناپایدارکننده

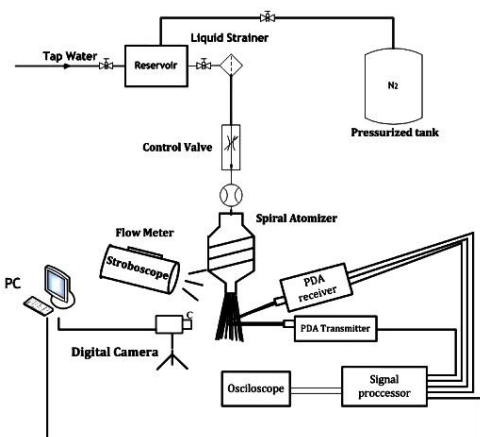
(SMD) و سرعت قطرات استفاده کردند. نتایج آنها نشان می‌داد که سرعت قطرات با افزایش فاصله شعاعی از مرکز پاشش، افزایش و پس از آن کاهش می‌یابد. همچنین SMD نیز با فاصله‌گرفتن از مرکز پاشش، پیوسته افزایش می‌یابد. در این انژکتورها، قطراتی که دارای قطر کوچکتری هستند با سرعت کمتری حرکت می‌کنند. به عبارت دیگر قطرات با قطر بیشتر، سرعت و درنتیجه اندازه حرکت بزرگتری دارند. رادک (۲۰۱۲) با استفاده از سیستم PDA به بررسی تجربی انژکتورهای دوپایه مایع - مایع پرداخت [۱۶]. نتایج او نشان داد که پارامترهای هندسی از جمله قطر خروجی انژکتور و پارامترهای جریانی روی شکست صفحه مایع و قطر ذرات خروجی تأثیر مستقیم می‌گذارند. نتیجه‌گیری‌ها نشان می‌دهد که کاهش عدد رینولوز، کاهش SMD ذرات را درپی خواهد داشت و با ماکزیمم شدن سرعت جریان اسپری، SMD به کمترین مقدار خود خواهد رسید. همچنین راشاد و همکاران (۲۰۱۶) به بررسی پارامترهای مختلف هندسی روی انژکتورهای پیچشی پرداختند [۱۷]. آنها به این نتیجه رسیدند که زاویه اسپری با افزایش نسبت طول محفظه پیچش انژکتور به قطر اوریفیس کاهش می‌یابد و SMD قطرات نیز با افزایش طول اوریفیس به قطر آن افزایش می‌یابد. اما انجام بررسی‌ها و مطالعات تجربی روی انژکتورها پرهزینه و مشکل خواهد بود، از این‌رو بیشتر تحقیقات به این سمت گرایش پیدا کرده که قدرت حل عددی روی اسپری را به کمک نتایج تجربی نشان دهند که در مطالعات اخیر نیز از ترکیب روش عددی و تجربی جهت ارائه یک مدل حل عددی سازگار استفاده شده است. در بیشتر مطالعات عددی ذکرشده، بررسی اتمیزاسیون اسپری مخروطی شکل در فشارهای بالا (۳۰ تا ۶۰ بار) صورت گرفته است و تاکنون بیشتر شرایطی از شکست را مورد بررسی قرار داده‌اند که در آن رژیم موج کوتاه حاکم بوده و مدل شکست LISA را در فشارهای بالا، به کار گرفته‌اند؛ بنابراین با توجه به خلاصه‌پژوهش‌های لازم در محدوده اسپری فشار پایین، هدف کار حاضر بررسی تجربی و عددی اسپری حاصل از انژکتور و همین‌طور به کارگیری مدل LISA در فشارهای پایین است.

در این تحقیق یک انژکتور پیچشی با استفاده از سیستم اندازه‌گیری لیزری PDA مورد بررسی تجربی قرار گرفته و نتایج آن با نتایج مدل‌سازی عددی مقایسه شده است و در نهایت پارامترهای مدل عددی شکست LISA و همچنین تابع توزیع

روی مشخصه‌های اسپری مورد بررسی قرار دادند و به این نکته پی بردنده که شرایط محیط تأثیر بسیار زیادی روی مشخصه‌های اسپری می‌گذارد [۱۱] در واقع هرچه آثار آشفتگی و اغتشاش محیط بیشتر باشد، فرایند اتمیزاسیون و تبخیر اسپری سوت بفتر صورت می‌گیرد. همچنین آشفتگی باعث کاهش SMD قطرات، افزایش بهمنای نفوذ اسپری و افزایش تعداد قطرات آن می‌شود. دینگ و همکاران (۲۰۱۶) با استفاده از روش LES-VOF مراحل اتمیزاسیون اسپری مخروطی در انژکتور پیچشی - فشاری را به صورت تجربی و عددی (در نرمافزار اپن‌فوم) مورد بررسی قرار دادند [۱۲]. ایشان اسپری حاصل را به سه منطقهٔ فیلم مایع، لیگامت و قطره تقسیم‌بندی کردند و در هر یک از این مناطق عوامل ناپایداری ورقه مایع و قطره را مورد بررسی قرار دادند. همچنین به این نتیجه رسیدند که اولین قطره‌های تشکیل شده دارای قطری بین ۱/۷ تا ۲ برابر قطر لیگامت را دارند. نقیزاده و همکاران (۲۰۱۵) رفتار اسپری بیواناتول را در یک محفظه احتراق به کمک نرمافزار فایر^۹ تحلیل کردند [۱۳]. ایشان به بررسی تأثیر فشار تزریق سوت و افزایش بیواناتول سوت روی رفتار اسپری از جمله زاویهٔ مخروطی اسپری، مساحت اسپری و SMD آن پرداختند و درن‌هایت با بررسی این کمیت‌ها به این نتیجه رسیدند که افزایش محسوس طول نفوذ اسپری و مساحت پاشش احتمال آنکه پاشش سوت به دیواره‌های محفظه احتراق برخورد کند و درنتیجه آن مقدار هیدروکربن‌های نسوت خود افزایش و بازده موتور کاهش یابد را افزایش می‌دهد. همچنین جان‌محمدی و همکاران (۲۰۱۴) به شبیه‌سازی عددی جریان داخل و خارج از انژکتور پیچشی - فشاری پرداختند. ایشان جریان داخل انژکتور به‌همراه مرحله اول اتمیزاسیون در رژیم جریان آرام و به کمک مدل LISA و مدلی دوفازی از ترکیب حجم سیال و تنظیم سطح، شبیه‌سازی کرده و در نهایت ضخامت فیلم مایع، زاویه اسپری و طول شکست محاسبه کردند [۱۴]. مقایسه نتایج حاصل از شبیه‌سازی با داده‌های تجربی نشان از دقت روش مورد استفاده داشت. علاوه بر تحقیقات عددی ارائه شده، تاکنون بررسی‌های تجربی متنوعی نیز درباره انژکتورهای مارپیچی با استفاده از سیستم‌های اندازه‌گیری لیزری انجام شده است.

سلطانی و همکاران (۲۰۰۵) مطالعه‌ای تجربی روی SMD در انژکتورهای گریز از مرکز مماسی مایع - مایع انجام دادند [۱۵]. در این تحقیق از سیستم PDA برای اندازه‌گیری قطر میانگین ساوتر

می‌دهد. این دستگاه لیزری از دقیق‌ترین ابزار اندازه‌گیری قطر و سرعت قطرات است. بهطور کلی از سه روش جهت کالیبره کردن این سیستم استفاده می‌شود. در روش اول فیبرهای نوری با قطرهای 50 ، 100 و 200 میکرومتری را بهطور مجزا به یک فن متصل می‌شود. با چرخش فن و عبور متواالی این فیبرها از محل تقاطع پرتوهای لیزری، سیستم، قطر و سرعت و تعداد دفعات عبور این فیبرها را اندازه‌گیری می‌کند. با مشخص بودن سرعت دورانی فن، سرعت عبور فیبر و تعداد دفعات عبور در یک زمان مشخص قابل محاسبه است. با مقایسه نتایج اندازه‌گیری شده و قابل انتظار می‌توان دقت اندازه‌گیری دستگاه از نظر قطر ذره، سرعت و تعداد دفعات اندازه‌گیری بررسی و کالیبره کرد. در روش دوم از یک پودر مونو سایز استفاده می‌شود. با پاشش این پودر به فضای داده‌برداری دستگاه می‌توان دقت این سیستم را در اندازه‌گیری قطر قطرات محاسبه کرد. در روش سوم از دستگاه‌های تولید رطوبت^{۱۰} استفاده می‌شود. این دستگاه‌ها قطرات مونو سایزی با دقت بالا تولید می‌کنند که می‌توان به‌کمک آن دقت دستگاه در اندازه‌گیری قطر قطرات را محاسبه کرد.



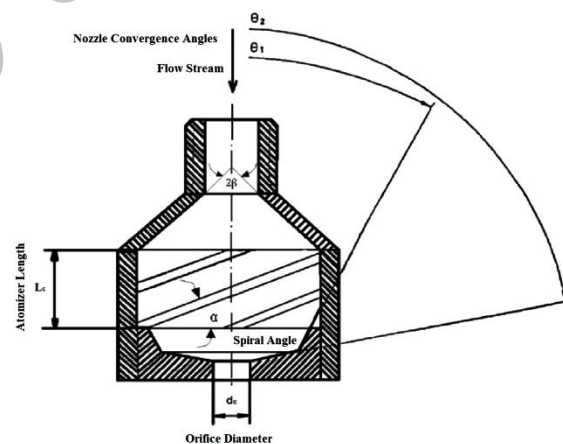
شکل ۲. چیدمان آزمایشگاهی مورد استفاده

نتایج آن در جدول ۱ ارائه شده است. همان‌طور که مشاهده می‌شود نتایج در محدوده قابل قبولی هستند. بهمنظور داده‌برداری، انژکتورها در داخل فیکسچر^{۱۱} مخصوص قرار گرفته و این فیکسچر نیز روی دستگاه Travers سیستم PDA، که یک مکانیزم حرکتی سه‌بعدی دارد، نصب شده است. کنترل Travers و حرکت‌دادن آن به‌وسیله کامپیوتر متصل به دستگاه PDA بهطور مستقیم یا از طریق برنامه‌های ذخیره‌شده در آن امکان‌پذیر می‌گردد. برای هر یک از انژکتورها مسیر ویژه‌ای در

برای انژکتورهای گریز از مرکز مارپیچی در محدوده‌های فشاری پایین ارائه شده است.

۲. تجهیزات آزمایشگاهی

در شکل ۱ ساختار انژکتور مورد مطالعه و پارامترهای مهم هندسی آن از جمله زاویه مارپیچ، طول انژکتور، قطر اریفیس و زوایای همگرایی نمایش داده شده است. همان‌گونه که مشاهده می‌شود، مهم‌ترین مشخصه‌های هندسی انژکتور مارپیچی مقطع یا اریفیس خروجی به قطر d_c ، محفظه پیچش به طول L_c ، مارپیچ درونی با زاویه α ، مخروط نازل با زاویه β و زوایای همگرایی نازل θ_1 و θ_2 هستند. اندازه‌گیری مشخصه‌های هیدرودینامیکی پاشش انژکتورهای پیچشی با هندسه‌های مختلف توسط دستگاه اندازه‌گیری PDA انجام شده است. این سیستم قطر، سرعت و غلظت قطرات را به صورت نقطه‌ای اندازه‌گیری می‌کند. سیال مورد آزمایش آب است و از یک مخزن ذخیره که بوسیله کپسول نیتروژن تحت فشار مناسبی قرار داده شده است، تأمین می‌گردد. شکل ۲ تجهیزات آزمایشگاهی را به صورت شماتیک نمایش



شکل ۱. ساختار انژکتور مارپیچی

این سیستم به‌کمک، روش اول و دوم کالیبره شده و دقت بالایی در اندازه‌گیری دارد. علاوه بر کالیبره کردن دستگاه، تکرار پذیری نتایج نیز ضروری است. بدین‌منظور هر تست با ثابت نگه‌داشتن شرایط آزمایشگاهی چند بار اندازه‌گیری شد و نتایج با خطای ± 5 درصد به‌دست آمد. این موضوع نشان می‌دهد که تست‌ها از نظر دقت تجربی و تکرار پذیری نیز قابل قبول هستند. به عنوان نمونه اندازه‌گیری SMD قطرات در انژکتور مینا (تست ۱) در شرایط آزمایشگاهی ثابت، ۵ مرتبه متواالی اندازه‌گیری شد و

آن گذر نمایند، سرعت افقی محاسبه شده، میانگین مؤلفه‌ای از سرعت ذرات است که مماس بر دایره پاشش می‌باشد و بر عکس هرگاه پرتوهای لیزر مماس بر دواویر مسیر حرکت Travers قرار گیرند، سرعت افقی نشان‌دهنده میانگین مؤلفه‌های ساعی سرعت ذرات گذر کرده از حجم اندازه‌گیری می‌باشد. پس از پایان فرایند داده‌برداری از اسپری هر انژکتور، پردازش داده‌های خام به وسیله واحد پردازنده سیستم PDA و کامپیوتر متصل به آن انجام شده و قابل دسترس خواهد بود. مشخصات هندسی انژکتورهای بروزی شده در هر تست، در جدول ۲ آرائه شده است. بهمنظور بررسی اثر تغییرات هر پارامتر هندسی بر SMD قطرات، یک انژکتور پیش‌ساخته به عنوان انژکتور مبنا در نظر گرفته می‌شود انژکتور ۱ و انژکتور ۴ انژکتورهای مبنا هستند. مثلاً با ثابت نگهداشت زاویه مارپیچ و طول انژکتور مبنای ۴، می‌توان تنها قطر اریفیس را تغییر داده تا اثر این پارامتر هندسی بر کیفیت اسپری و SMD قطرات مشخص شود. ذکر این نکته ضروری است که انژکتور مبنای ۴ نسبت به انژکتور مبنای ۱ اسپری مخروطی جمع‌تری داشته و زاویه پاشش کمتر می‌باشد. از این‌رو نقاط داده‌برداری از انژکتور مبنای ۱ تا ساعه‌های بیشتری (۵۶ میلی‌متر) داده‌برداری شده تا یال‌های کناری اسپری را نیز پوشش دهد.

جدول ۲. شرایط هندسی انژکتورهای مورد استفاده در کار تجربی

| شماره انژکتور | قطر اریفیس d_e (mm) | زاویه مارپیچ α (degree) | طول انژکتور L_e (mm) |
|---------------|-----------------------|--------------------------------|------------------------|
| ۱ | ۲/۱ | ۱۵ | ۶ |
| ۲ | ۲/۱ | ۲۵ | ۶ |
| ۳ | ۲/۱ | ۳۵ | ۶ |
| ۴ | ۲/۵ | ۲۱ | ۶ |
| ۵ | ۳ | ۲۱ | ۶ |
| ۶ | ۲/۵ | ۲۱ | ۶ |
| ۷ | ۴ | ۲۱ | ۶ |

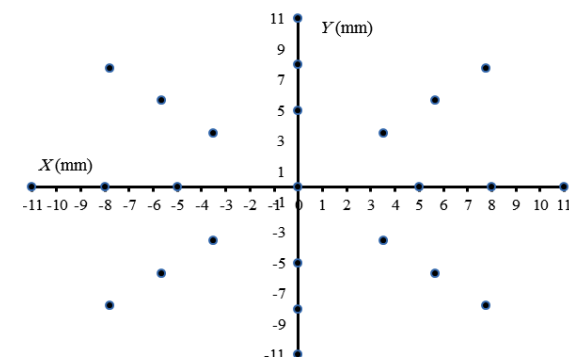
۳. مدل‌ها و روابط ریاضی

بهمنظور بررسی عددی اسپری انژکتورها و مطابقت آن با نتایج تجربی از انژکتورهای ۱ و ۷ جدول ۲ (به‌دلیل داشتن نتایج بهتر از جمله توزیع قطرات در این دو حالت) استفاده شده است که به‌ترتیب تست‌های شماره ۱ و ۲ نامگذاری شده‌اند. شرایط هندسی

کامپیوتر تعريفشده که حرکت Travers را در سه دایره هم‌مرکز با شعاع‌های متفاوت، که تقریباً تمام مقاطع افقی اسپری را در فاصله ۳ سانتی‌متری از خروجی انژکتور دربر می‌گیرند، امکان‌پذیر می‌سازد. انژکتور متصل به دستگاه Travers خمن پیمایش این سه دایره، در هشت نقطه با فواصل ۴۵ درجه توقف نموده و امکان داده‌برداری را برای دستگاه PDA فراهم می‌سازد. نقطه آغازین داده‌برداری مرکز دایره بوده و پس از آن سه دایره به شعاع‌های ۵ و ۱۱ میلی‌متر در جهت مثلثاتی پیموده می‌شوند؛ بنابراین مجموعاً از ۲۵ نقطه متفاوت در اسپری‌ها نمونه‌برداری شده است. در شکل ۳ نقاط داده‌برداری شده از یک مقطع مخروط اسپری پاشش نمایش داده شده است.

جدول ۱. بررسی تکرارپذیری اندازه‌گیری داده‌ها در تست ۱

| دفعات اندازه‌گیری | قطر میانگین ساوتر قطرات | درصد خطأ |
|-------------------|-------------------------|----------|
| - | ۷۲/۵ | ۱ |
| ۲/۵ | ۷۵ | ۲ |
| ۲/۴ | ۷۴/۲۵ | ۳ |
| ۲/۷۵ | ۷۰/۵ | ۴ |
| ۴/۸۵ | ۶۹ | ۵ |



شکل ۳. نقاط داده‌برداری با کمک سیستم PDA

حرکت دایره‌ای دستگاه Travers درون مخروط پاشش این امکان را فراهم می‌کند که علاوه بر عدم قابلیت دستگاه PDA موجود در اندازه‌گیری مؤلفه سوم سرعت ذرات یا همان مؤلفه در امتداد محور اپتیکی دستگاه، بتوان میانگین این مؤلفه را نیز به‌طور همزمان از مقادیر اندازه‌گیری شده محاسبه کرد و سپس سرعت افقی میانگین را استخراج نمود. بدین‌ترتیب هرگاه مخروط پاشش به‌نحوی استقرار یابد که پرتوهای لیزر از مرکز دایره سطح مقطع

می‌تواند مومنتوم، جرم و انرژی سیال را تغییر دهد. در این تحقیق نیز از متادویلری - لاغرانژی جهت شبیه‌سازی فرایند پاشش و اسپری استفاده شده است؛ زیرا این روش بهترین و مؤثرترین راه در بررسی و مدلسازی فرایند اسپری است [۱۸]. بر این اساس، در معادلات حاکم، زیرنویس d بیانگر خاصیت مربوط به فاز مجزا یا قطرات و زیرنویس q بیانگر خاصیت مربوط به فاز پیوسته یا گاز است.

جدول ۳. شرایط هندسی و آزمایشگاهی انژکتورها در مطالعه عددی

| تست | قطر اوریفیس d_c (mm) | زاویه مارپیچ α (degree) | طول انژکتور L_c (mm) | فشار تزریق P_{inj} (bar) | دبی جرمی \dot{m} (gr/sec) |
|-----|---------------------------|-----------------------------------|---------------------------|-------------------------------|--------------------------------|
| ۱ | ۲/۱ | ۱۵ | ۶ | ۱۰/۵ | ۲۴/۲ |
| ۲ | ۴ | ۲۱ | ۶ | ۶/۲ | ۲۰/۲۸ |

اسپری‌های فشار پایین بمخوبی رفتار اسپری را پیش‌بینی می‌کند [۱۹]. این مدل توسط شیه و همکاران (۱۹۹۴) بر مبنای مدل k-ε RNG اما با یک معادله جدید برای ویسکوزیتۀ آشفتگی توسعه داده شد [۲۰]. معادلات انتقال انرژی جنبشی آشفتگی (k) و نزخ اضطرابی (ε) به ترتیب مطابق با معادلات ۳ و ۴ می‌باشد.

$$\begin{aligned} & \frac{\partial}{\partial t} \rho k + \frac{\partial}{\partial x_i} \rho k u_i = \frac{\partial}{\partial x_j} \left(\left(\mu + \frac{\mu_{turb}}{\sigma_k} \right) \frac{\partial k}{\partial x_j} \right) + \\ & + P_k + P_b - \rho \varepsilon - Y_M + S_k \\ & \frac{\partial}{\partial t} \rho \varepsilon + \frac{\partial}{\partial x_i} \rho \varepsilon u_i = \frac{\partial}{\partial x_j} \left(\left(\mu + \frac{\mu_{turb}}{\sigma_\varepsilon} \right) \frac{\partial \varepsilon}{\partial x_j} \right) + \\ & + \rho C_1 S_\varepsilon - \rho \rho_2 \frac{\varepsilon^2}{k_e + \sqrt{v_\infty}} + C_{1e} \frac{\varepsilon}{k_e} C_{3e} P_b + S_\varepsilon \end{aligned} \quad (\text{F})$$

در این روابط، ثوابت به صورت زیر در نظر گرفته می‌شوند.

$$C_{1c} = 1.44$$

$$C_2 = 1.9$$

$$\sigma_k = 1.0$$

$$\sigma_{\omega} = 1.2$$

همچنین لرجت دنباله براساس انرژی آشفتگی و نرخ اتلاف آن به صورت رابطه ۵ محاسبه می‌شود، که در آن C_{μ} براساس رابطه ۶ محاسبه می‌شود.

$$\mu_{tur} = \rho C_\mu \frac{k^2}{\varepsilon} \quad (\delta)$$

$$C_\mu = \rho \frac{1}{A_0 + A_s \frac{kU^*}{\varepsilon}} \quad (8)$$

و آزمایشگاهی که به عنوان ورودی به مدل عددی استفاده شده، در جدول ۳ ارائه شده است. در بررسی جریان‌های چندفازی بهمطور کلی دو رویکرد اویلری - لاگرانژی و اویلری - اویلری وجود دارد. در روش اویلری - لاگرانژی (که به مدل فاز مجزا یا DPM^{۱۲} نیز معروف است) فاز سیال با معادلات ناویر - استوکس حل می‌شود، در حالی که فاز مجزا بهوسیله ریدیابی^{۱۳} تعداد زیادی ذرات، حباب‌ها یا قطرات محاسبه می‌شود. در این روش، فاز مجزا

۳-۱. معادلات حاکم بر فاز اویلری (گاز)

شبیه‌سازی CFD با اعمال معادلات ریاضی و مدل‌های عددی روی جریان سیال انجام می‌شود. معادلات بقای جرم، مومنتوم حاکم بر فاز سیال به صورت زیر هستند.

$$\frac{\partial(\rho_g u_j^g)}{\partial x} = 0 \quad (1)$$

$$\rho_g \frac{\partial u_i^g}{\partial t} + \rho_g u_j^g \frac{\partial u_i^g}{\partial x_j} = -\frac{\partial p_g}{\partial x_i} + \frac{\partial}{\partial x_i} \left(\mu_j \frac{\partial u_i^g}{\partial x_j} \right) - \frac{1}{\rho_\infty} M_p + F \quad (7)$$

در این معادلات نیروی خارجی F , نیرویی است که به واسطه تقابل با فاز ذرات به وجود می‌آید. همچنین ρ_g و μ_g چگالی و ویسکوزیتی مؤثر فاز گاز، M_p مومنتوم تبادل شده و u سرعت جریان، است.

۱-۱-۳. معادلات حاکم بر آشفتگی و مدل آشفتگی

آشنتگی به واسطه حرکت اغتشاشی ذرات مایع در محیط گازی به وجود می‌آید. اگرچه معادلات بقا همچنان برای توصیف حرکت سیال قابل اجرا هستند، اما قادر به مدلسازی ماهیت نوسانی و اغتشاشی سیال نیستند. بهمین دلیل در این تحقیق از مدل $k-\epsilon$ realizable جهت مدلسازی پدیده اغتشاش به واسطه حرکت ذرات مایع در فضای گازی استفاده شده است که با توجه به پژوهش فوگلیاتی (۲۰۰۶) این مدل توربولانسی در محدوده

همچنین در رابطه ۱۴، \vec{F} نماینده ترموماتیکی استabilی اضافی و نیروهای اضافی از جمله نیروی گرادیان فشار، نیروی جرم مجازی، نیروی باست، اثرات مگنس، نیروی سافمن و فاکسن است. در پژوهه حاضر، با توجه به اینکه سیال آب در محیط (ها) اسپری شده است، نسبت چگالی گاز به قطره بسیار کوچک است و می‌توان از نیروهای جرم مجازی، گرادیان فشار، سافمن و فاکسن صرف‌نظر کرد. اگر اوال و پنگ (۱۹۹۶) نشان دادند تا زمانی که نسبت چگالی ذره به چگالی سیالی که در آن غوطه‌ور است از ۲۰ بیشتر باشد، می‌توان از نیروهای باست و جرم مجازی صرف‌نظر کرد [۲۱]. همچنین به علت مهم نبودن چرخش قطرات اسپری در محیط نیروی برآی مگنس و اثرات مگنس نیز قابل غماض است [۲۲]. با فرض ثابت‌ماندن ترموماتیکی شامل نیروهای حجمی در طول گام‌های زمانی کوچک و خطی‌سازی دیگر نیروهای اعمالی روی قطره، معادله مسیر ساده‌شده به شکل زیر خواهد بود.

$$\frac{du_d}{dt} = \frac{1}{\tau_d}(u_g - u_d) + g \quad (17)$$

به طوری که τ_d در آن پاسخ زمانی مومنتوم است. یکی از پارامترهای اصلی در شبیه‌سازی اسپری، انتخاب گام زمانی حل است که باید براساس پاسخ زمانی مومنتوم و از معادله حرکت قطرات استخراج شود. در واقع گام زمانی حل باید از مقدار پاسخ زمانی مومنتوم و مشخصه‌های زمانی شکسته هر الگوی شکست، کوچکتر باشد تا بتواند جزئیات پدیده را دنبال کند. مقدار پاسخ زمانی مومنتوم از رابطه زیر به دست می‌آید:

$$\tau_p = \frac{4}{3} \times \frac{2\rho_d r}{C_{drag}|u_g - u_d|} \quad (18)$$

در این تحقیق، با توجه به اینکه مقدار پاسخ زمانی مومنتوم در تست‌های اول و دوم به ترتیب $4/6$ و $4/73$ میکروثانیه بوده، مقدار گام زمانی برابر با یک میکروثانیه انتخاب شده است.

۳-۲-۳. مدل شکست اولیه

إسمیت و همکاران (۱۹۹۹) با بسط یک مدل، فروپاشی اولیه اسپری‌های مخوبی توخالی را به خوبی توصیف کردند [۷]. آنها ابتدا رویکردی صفر بعدی را برای توصیف جریان داخلی نازل و تعیین سرعت در خروجی مورد استفاده قرار دادند. با استفاده از این مدل، در ابتدا سرعت خروجی نازل بر اساس رابطه برنولی و مطابق با معادله ۱۹ تعیین می‌شود:

در این رابطه $A_0=4.04$ و دیگر پارامترهای موجود در آن مطابق با روابط ۷ تا ۱۱ تعیین می‌شوند.

$$U^* = \sqrt{S_{ij}S_{ij} + \tilde{\Omega}_{ij}\tilde{\Omega}_{ij}} \quad (2)$$

$$\tilde{\Omega}_{ij} = \Omega_{ij} - 2\varepsilon_{ijk}\omega_k \quad (3)$$

$$A_s = \sqrt{6} \cos\varphi \quad (4)$$

$$\varphi = \frac{1}{3} \cos^{-1} \left(\sqrt{6} \frac{S_{ij}S_{jk}S_{ki}}{\bar{S}^3} \right) \quad (5)$$

$$\bar{S} = \sqrt{S_{ij}S_{ij}} \quad (6)$$

در این روابط S بیانگر تانسور تغییر شکل المان سیال و Ω تانسور چرخش المان سیال هستند. همچنین P_k و P_b که به ترتیب، تولید انرژی جنبشی آشفتگی و آثار بویانسی را به معادلات وارد می‌کنند، به صورت روابط ۱۲ و ۱۳ محاسبه می‌شوند.

$$P_k = -\rho u_i' u_j' \frac{\partial u_j}{\partial x_i} \quad (7)$$

$$P_b = \beta g_i \frac{\mu_{tur}}{\Pr_{tur}} \frac{\partial T}{\partial x_i} \quad (8)$$

۲-۳. معادلات حاکم بر فاز لاغرانژی (مایع)

در روش اویلری - لاغرانژی استفاده شده فرض می‌شود فاز ذرات (قطرات اسپری) کروی شکل بوده و در فاز پیوسته (فاز گاز) پراکنده می‌شوند و معادلات انتقال فاز ذرات در چارچوب مرجع لاغرانژی محاسبه می‌شوند.

۲-۳-۱. ردیابی مسیر ذرات

ردیابی فاز ذرات با برقراری تعادل نیروهای اعمال شده شامل اینرسی، نیروی و نیروی گرانش روی قطرات مطابق با رابطه ۱۴ انجام می‌شود که در آن F_{drag} نیروی پسا وارد بر قطره است که به صورت ۱۵ تعریف می‌شود.

$$\frac{du_d}{dt} = F_{drag} (u_g - u_d) + \frac{\bar{g}(\rho_g - \rho_d)}{\rho_d} + \vec{F}' \quad (9)$$

$$F_{drag} = \frac{18u_d}{\rho_d d_d^2} + \left(\frac{C_{drag} \text{Re}_d}{24} \right) \quad (10)$$

در رابطه مذکور نیز d_d قطر قطره، C_{drag} ضریب پسا و عدد رینولدز قطره است که براساس رابطه ۱۶ محاسبه می‌شود.

$$\text{Re}_d = \frac{\rho d_d}{\mu} |u_g - u_d| \quad (11)$$

ورقه می‌گردد. در این مدل براساس پژوهش‌های هاگرتی و شای [۲۵] عدد ویر بحرانی ۱۶۸۷۵ معرفی شده که تعیین کننده موج غالب بر ورقه مایع است و بدین ترتیب در اعداد ویر بالا و پایین آن، رابطه انتشار حاصل شده و طول شکست بر این اساس تعیین می‌گردد. اگر امواج ناپایدار روی سطح ورقه به دامنه بحرانی بررسند، ورقه به رباط^{۱۴}‌های مایع شکسته می‌شود. چون رشد امواج مستقل از ضخامت ورقه است، زمان فروپاشی τ_b و طول متناظر فروپاشی L_b را می‌توان براساس شبیه‌سازی با فروپاشی جت مایع استوانه‌ای، فرمول بندی کرد. در عده‌های ویر بالاتر از عدد ویر بحرانی ۱۶۸۷۵ که امواج کوتاه روی سطح ورقه رشد می‌کنند، خواهیم داشت:

$$L_b = U_{inj} \tau_b = U_{inj} \frac{C_\tau}{\omega_{\max}} \quad (44)$$

در این رابطه، $C_\tau = \ln(\eta_b / \eta_0)$ ثابت شکست ورقه بوده و براساس نتایج تجربی برابر با ۱۲ در نظر گرفته می‌شود [۲۶]. چنانچه h نصف خامت ورقه هنگام شکست باشد، در این حالت رباطه‌های استوانه‌ای ایجاد شده قطری برابر با d_L خواهد داشت که مطابق با رابطه ۲۳ تعیین می‌گردد.

$$d_L = \sqrt{\frac{16h}{k_{\max}}}$$

در اعداد وبر پایین تر از ۱،۶۸۷۵ نیز طول شکست ورقه و قطر ریاضاتی مایع به ترتیب از روابط ۲۴ و ۲۵ تعیین می‌گردد.

$$L_b = U_{inj} \tau_b = U_{inj} \left((3C_\tau)^{\frac{2}{3}} \left(\frac{J\sigma}{Q^2 U_{inj}^4 \rho} \right)^{\frac{1}{3}} \right) \quad (44)$$

$$d_L = \sqrt{\frac{8h}{k_{\max}}} \quad (\textcircled{Y}\delta)$$

که در آنها $J = ht$ عدد موج متناظر با بیشترین نرخ رشد امواج اغتشاشی (ω_{max}) است. بعد از شکست اولیه ورقه و تبدیل آن به رباطهایی با قطر d_L درنهایت اولین قطره حاصل از اتمیزاسیون با قطر d_D و مطابق با معادله ۲۶ حاصل می‌شود.

$$d_D = 1.88 d_I \left(1 + 3Oh\right)^{\frac{1}{6}} \quad (26)$$

در این رابطه، Oh عدد بی بعد آنسرگ بر پایه قطر رباطهای مایع و برابر با $\sqrt{\rho_l \sigma d_L} / \mu_L$ است. از مقدار قطر قطرات بعد از شکست اولیه، به عنوان شرایط ورودی به محاسبات CFD استفاده می شود. پسته ها به یک مخروط توخالی با زاویه متوسط θ

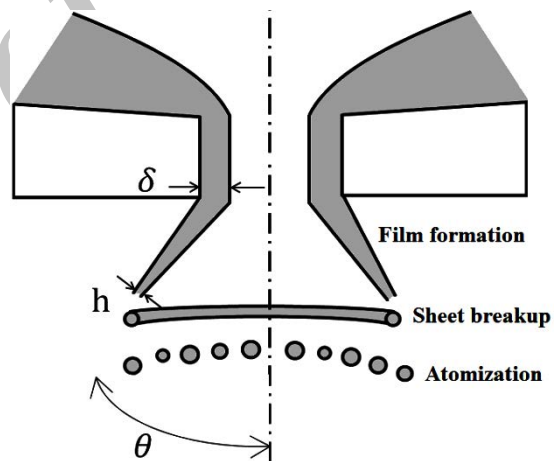
$$\tau_p = C_{dis} \sqrt{\frac{2Ap}{\rho}} \quad (19)$$

در این رابطه C_{dis} ضریب تخلیه است و با توجه به مراجع [۲۴-۲۳] برای انژکتورهای مارپیچی عددی بین $۰/۳$ تا $۰/۵$ است. $V = U_{inj} \cos(\theta)$ نیز از رابطه مؤلفه سرعت محوری (V) می‌شود. در نهایت با استفاده از رابطه دبی می‌توان ضخامت فیلم مایع (δ) را مطابق با رابطه ۲۰ به دست آورد.

$$\dot{m} = \pi \rho_l V \delta \delta(-\delta) \quad (3+)$$

در این رابطه، D قطر خروجی نازل و m نرخ جریان جرمی است. فرایند تولید اسپری از خروجی نازل تا قطرات ریز کاملاً توسعه یافته، مطابق شکل ۴ طی سه مرحله صورت می‌گیرد:

- .١ تشکیل فیلم مایع
 - .٢ فروپاشی مایع
 - .٣ تجزیه به قطرات



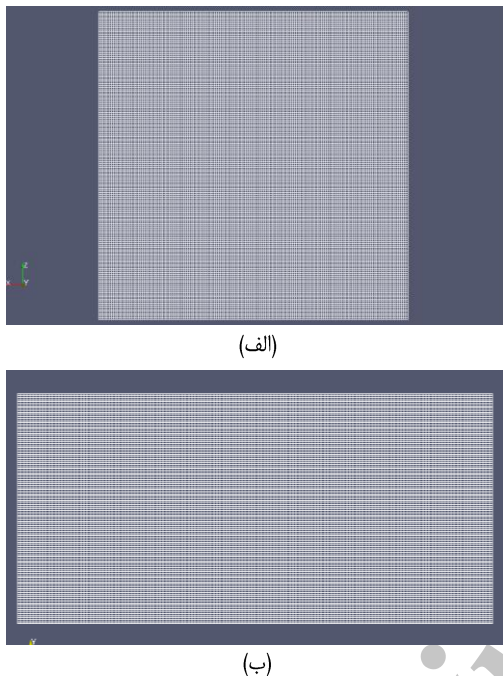
شکل ۴. مراحل گذار از جریان نازل به اسیری کاملاً توسعه یافته

در مدل ارائه شده توسط سنکال [٦] فرض می‌شود که یک ورقه دو بعدی، لزج و تراکم‌ناپذیر، با ضخامت $2h_0$ و با سرعت U_{inj} به گاز ساکن، غیرلزج و تراکم‌ناپذیر نفوذ می‌کند. یک طیف از اغتشاشات بسیار کوچک به صورت رابطه ۲۱ به ورقه اعمال می‌شود که تولید نوسانات سرعت و فشار در مایع و گاز را درپی دارد.

$$\eta(t) = \eta_0 \exp(ik_w x + \omega t) \quad (11)$$

همچنین η_0 دامنه اولیه موج، $k_w = 2\pi/\lambda$ عدد موج و $\omega = \omega_r + i\omega_i$ نرخ موهومی رشد است. فرض می‌شود که ماکریم نرخ رشد ω_{max} (ناپایدارترین نرخ رشد) باعث فروپاشی

اعمالی، از چنین هندسه سه بعدی بهره گرفته شده که در غیر این صورت مسلماً استفاده از یک هندسه بهصورت متقارن محوری و حل تنها یک قطاع ۵ درجه از حجم محاسبات می کاست. شبکه بندی میدان محاسباتی در مقاطع مختلف در شکل ۵ نمایش داده شده است. این هندسه با شبکه بندی سازمان یافته به کمک ابزار blockMesh در نرم افزار اپن فوم ایجاد شده است.



شکل ۵ شبکه بندی میدان محاسباتی
الف) نمای از بالا، ب) نمای از رو برو

شرط مرزی در همه وجوه از نوع دیوار حاکم بوده و دمای آنها نیز ۲۹۸ کلوین تنظیم شده است. با توجه به اینکه اسپری حاصل به صورت یک مخروط توخالی است، زوایای داخلی و خارجی در مدل سازی براساس نتایج تست قرار داده شده است. با استفاده از نتایج تجربی و مقادیر مؤلفه های سرعت قطرات، مقدار نیم زویه خارجی مخروط اسپری برای تست های اول و دوم به ترتیب ۶۰ و ۵۰ درجه و مقدار نیم زویه داخلی مخروط اسپری برای تست های اول و دوم به ترتیب ۳۱ و ۲۰ درجه می باشد. در شبیه سازی حاضر از مدل های LISA و TAB جهت مدل سازی شکست های اولیه و ثانویه استفاده شده است. با توجه به اینکه در تست اول مشخصه های زمانی الگوهای شکست اولیه و ثانویه به ترتیب ۱/۹ و ۲/۸ میکرو ثانیه و برای تست دوم نیز به ترتیب ۱/۸۴ و ۱/۲ میکرو ثانیه می باشد، گام زمانی انتخاب شده (۱ میکرو ثانیه) به خوبی می تواند پدیده های موجود را دنبال کند. مدت زمان شبیه سازی نیز

از محور اسپری و با توزیع تصادفی در محدوده کمان با زاویه $\theta \pm \Delta\theta$ پاشیده می شوند و در معرض هیچ گونه نیروی درگ، فروپاشی، تبخیر یا برخورد قرار نمی گیرد تا اینکه فاصله آنها از اوریفیس برابر یا بزرگتر از طول فروپاشی L_b گردد. در نقطه فروپاشی به بسته ها توزیعی مطابق باتابع توزیع احتمال رزین - راملر^{۱۵} مطابق با رابطه ۲۷ داده می شود و از این نقطه به بعد، بسته ها به صورت عادی رفتار می کنند و در معرض شکست ثانویه، نیروهای اثrodینامیکی، فرایندهای فروپاشی و برخورد قرار می گیرند.

$$f(d) = \frac{nd^{n-1}}{\bar{D}^n} \exp\left(-\left(\frac{d}{\bar{D}}\right)^n\right) \quad (27)$$

در رابطه ۲۷ n ضریب توزیع بوده و براساس نتایج تجربی حاصل می شود. این پارامتر هم معمولاً برابر با $3/5$ در نظر گرفته می شود [۳]. همچنین \bar{D} یا قطر مشخصه، برحسب d_D به صورت رابطه ۲۸ تعریف می شود.

$$\bar{D}^n = \frac{d_D^n}{\ln 2} \quad (28)$$

۴. شبیه سازی عددی

شبیه سازی صورت گرفته در این تحقیق به کمک نرم افزار متن باز اوین فوم انجام شده است. این نرم افزار دارای کتابخانه های متعدد به زبان برنامه نویسی C++ جهت شبیه سازی انواع مسائل مربوط به جریان های آرام و آشفته، یک فاز و چند فاز، انتقال حرارت، واکنش های شیمیایی و مکانیک جامدات است. یکی از امکانات مهم این نرم افزار آزادی عملی است که به کاربر در راستای ویرایش و تغییر کد محاسباتی موجود بنا بر هدف مورد نظر می دهد [۲۷]. در این مقاله نیز چون محاسبات قطر میانگین ساوتر SMD، سرعت و غلظت اسپری در صفحه ۳ سانتی متری از دهانه اثرکنور اندازه گیری شده و نرم افزار به طور پیش فرض قادر به استخراج این نتایج در چنین مقطع عرضی نیست، جهت استخراج این اطلاعات، کدی به زبان C++ نوشته و این قابلیت به حلگر SprayFoam اضافه شده است. مدل سازی حرکت ذرات اسپری در محیط گازی به کمک روش اوبلری - لاگرانژی در فضای مکعبی شکل به ارتفاع ۱۱ و طول و عرض ۳۰ سانتی متر (جهت اطمینان از عدم برخورد اسپری به دیواره) صورت گرفته است که اثرکنور نیز دقیقاً در مرکز وجه بالا قرار دارد. با توجه به نوشتن کد جهت استخراج نتایج در صفحه عرضی و تفهیم هندسه مشخص به کد

قطرات مایع در غالب یک مجموعه ۲ میلیون بسته‌ای به کد اعمال شده‌اند. سیال مورد استفاده در تمام تست‌ها آب با چگالی ۹۹۸ کیلوگرم بر متر مکعب، لزجت ۱۰۰٪ کیلوژول بر کیلوگرم کلوفین و کشش سطحی ۷۲٪ نیوتون بر متر بوده که به محیط با فشار ۱۰۰ کیلوپاسکال پاشش می‌شود.

۵. نتایج

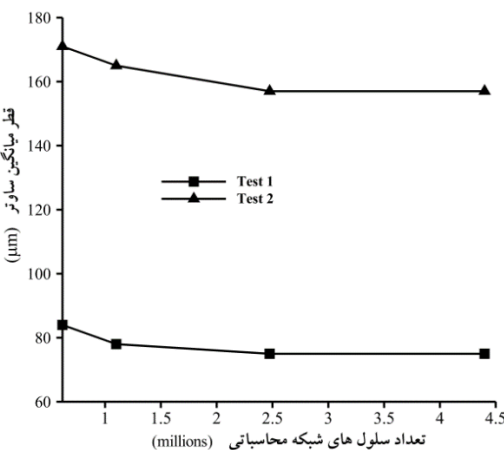
۱-۵. نتایج تجربی

نتایج تجربی نشان می‌دهد که نقاط دایره میانی اندازه‌گیری از بیشترین مقدار غلظت برخوردار هستند. این نتیجه با توجه به شکل مخروطی توخالی اسپری قابل پیش‌بینی بود. نمودار تغییرات غلظت قطرات در راستای شاعع پاشش در شکل ۷ نمایش داده است. این نمودار براساس نتایج حاصل از تست انژکتور شماره ۳ به عنوان انژکتور مبنا در خط عمود بر صفحه عرضی در فاصله ۳ سانتی‌متری از دهانه انژکتور به دست آمده است. این نمودار نیز شکل مخروطی اسپری را نشان می‌دهد.

۱-۱-۵. تأثیر تغییرات قطر خروجی انژکتور

بهمنظور بررسی تأثیر قطر اریفیس خروجی انژکتور بر مشخصه‌های پاشش، چهار انژکتور با قطرهای اریفیس خروجی ۴/۵، ۳/۵، ۲/۵ و ۲/۳ میلی‌متر (انژکتورهای شماره‌های ۴ تا ۷) در شرایط آزمایشگاهی برابر مورد بررسی قرار گرفتند. نتایج اندازه‌گیری‌های حاصل از PDA نشان داد با افزایش قطر اریفیس، مؤلفه‌های محوری و شعاعی سرعت ذرات کاهش می‌یابند و تنها مؤلفه‌های مماسی سرعت افزایش پیدا می‌کنند، اما با توجه به مقدار ناچیز این مؤلفه در برابر دو مؤلفه دیگر، سرعت کلی مجموع ذرات که برایند این سه مؤلفه است، کاهش می‌یابد. در اریفیس خروجی انژکتور بهدلیل تغییر مجرای عبوری از اندازه بزرگ آن در محفظه پیچش انژکتور بهاندازه کوچک آن در مقطع اریفیس خروجی، فشار استاتیک تا اندازه زیادی افت کرده و با صرف‌نظر از تلفات اصطکاکی، بهطور کامل به فشار دینامیک تبدیل می‌گردد. در نتیجه در خروج از اریفیس، فشار کمتر و سرعت بیشتری مشاهده می‌شود. میزان این کاهش فشار و افزایش سرعت بستگی به قطر روزنه اریفیس دارد که هرچه کوچکتر باشد، اختلاف مذکور مقدار بزرگتری است؛ بنابراین انژکتوری که دارای قطر اریفیس کوچکتری است دارای بیشترین سرعت ذرات می‌باشد. نتایج به دست آمده از آزمایش تطابق کاملی با این واقعیت دارد. کاهش

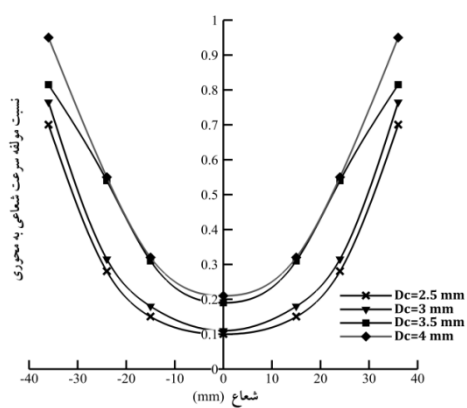
براساس زمان پایدار شدن و ثابت ماندن نتایجی مانند SMD در صفحه تعیین شده و بر این مبنای پاشش به مدت ۱/۵ میلی‌ثانیه از آغاز تزریق در گاز امتداد می‌یابد. همچنین تصحیح فشار از الگوریتم پیمپ^{۱۶}، گسسته‌سازی ترمهای زمانی از روش اول مرتبه اول و گسسته‌سازی سایر جملات از روش گاووس مرتبه دوم صورت گرفته است. در شبیه‌سازی عددی همچنین از برخورد قطرات صرف‌نظر شده است. برآورده کیفی و معیار کلی که در این‌باره وجود دارد این است که چنانچه مقدار پاسخ زمانی مومتوом از زمان برخورد بین قطرات بزرگتر باشد جریان اسپری چگال و در غیر این صورت رقیق خوانده می‌شود. با توجه به اینکه بر این مبنای اسپری در پژوهش حاضر رقیق است، نیازی به مدل کردن برخورد بین قطرات نیست. بررسی استقلال نتایج از مشبکه، برای چهار شبکه محاسباتی مختلف با تعداد سلول‌های ۱۱۰۰۰۰، ۱۸۷۵۰۰، ۲۴۷۵۰۰ و ۴۴۰۰۰۰ پژوهش شده است. چون پارامتر SMD در مشخصات اسپری بسیار حائز اهمیت است، از مقادیر این پارامتر در مدل‌سازی هر دو تست، جهت اطمینان از عدم وابستگی نتایج به شبکه استفاده شده و نتایج آن در شکل ۶ ارائه شده است. نتایج شکل ۶ نشان می‌دهد بعد از افزایش تعداد سلول‌های شبکه از ۲۴۷۵۰۰ به ۴۹۵۰۰۰ تغییر چندانی در نتایج حاصل نشده است. بهمین دلیل از شبکه‌ای با تعداد سلول ۲۴۷۵۰۰ (جهت کاهش زمان محاسبات) استفاده شده است.



شکل ۶. بررسی استقلال نتایج از شبکه

در مجموعه شبیه‌سازی‌های عددی صورت گرفته روی اسپری همواره مفهومی بنام بسته^{۱۷} قطرات مطرح می‌شود که این بسته‌ها در واقع مجموعه‌ای از قطرات با دم، قطر و سرعت یکسان هستند که در کد حل معرفی می‌شوند. در این شبیه‌سازی، مجموعه

اسپری حاصل از انژکتورهای دارای قطر اریفیس بزرگتر، زاویه مخروط کوچکتری داشته باشد. در شکل ۸ تغییرات نسبت سرعت شعاعی به محوری در راستای شعاع، بر حسب تغییرات قطر اریفیس نشان داده شده است.



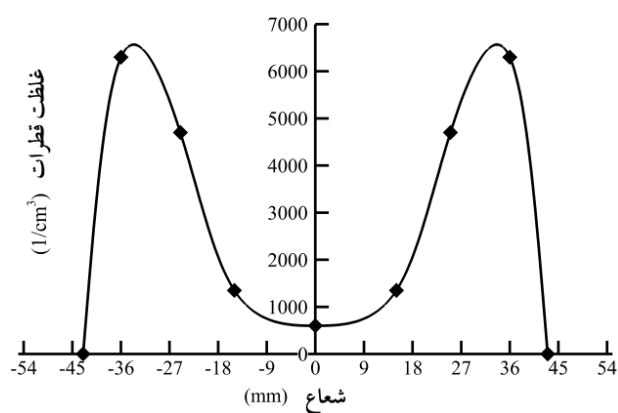
شکل ۸. تغییرات نسبت سرعت شعاعی به محوری در قطر اریفیس

می‌کند؛ زیرا با افزایش 20° درجه‌ای زاویه مارپیچ، SMD قطرات تنها حدوداً $5\text{ }\mu\text{m}$ کاهش می‌یابد.

۲-۵. نتایج شبیه‌سازی عددی

در این تحقیق به منظور تطبیق نتایج تجربی و عددی و با توجه به اینکه پارامترهای C_7 از مدل شکست اولیه LISA و n از تابع رزین - راملر کمیت‌هایی تجربی هستند و با استفاده از آن نتایج تجربی تعیین می‌گردند [۳ و ۲۶]، پس باید ثوابت مدل‌سازی مورد بررسی قرار گرفته و بهترین مقدار آنها تعیین گردد. کمیت C_7 یا ضریب شکست اولیه در مدل LISA تأثیر بسزایی بر طول شکست اولیه وریاله مایع دارد؛ زیرا نقش شرایط اولیه را برای تولید اسپری ایفا می‌کند. به این ترتیب این کمیت روی ساختار کلی اسپری حاصل از شبیه‌سازی مؤثر خواهد بود. اگرچه مقدار کمیت C_7 در کاربردهای فشار بالا همواره ۱۲ به دست آمده، اما این پارامتر یک پارامتر به نتایج تجربی وابسته بوده و به کمک نتایج تجربی تعیین می‌شود. در این مقاله با مقایسه نتایج سرعت و قطر میانگین ساوتر در کارهای تجربی و عددی مقدار این کمیت برای تست‌های اول و دوم بدستributed ترتیب برابر با ۵ و ۳ تعیین گردید. همان‌طور که در قسمت‌های قبل گفته شد، تابع رزین - راملر بعد از مدل شکست اولیه معتبر بوده و توزیع اندازه قطرات را مشخص

مؤلفه‌های شعاعی و محوری سرعت ذرات با افزایش اندازه قطر اریفیس خروجی در انژکتورهای فوق به گونه‌ای است که نسبت مؤلفه‌های شعاعی به محوری که تقریباً بیانگر زاویه مخروط پاشش است را نیز کاهش می‌دهد؛ بنابراین انتظار می‌رود که



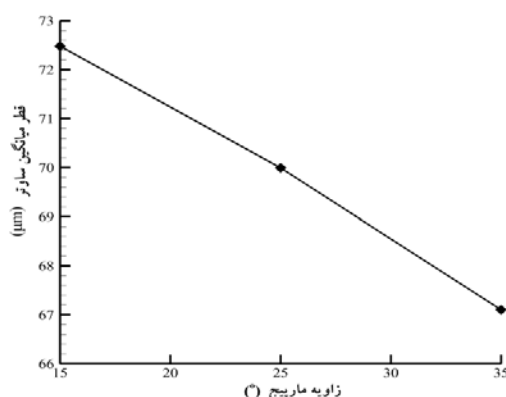
شکل ۷. نمودار تغییرات غلظت قطرات در راستای شعاع پاشش

عملکرد مناسب یک انژکتور منوط به ایجاد ذرات زیاد و ریزتر است؛ به همین دلیل برای مقایسه بهتر انژکتورها می‌توان SMD ذرات را مورد استفاده قرارداد. با مقایسه این کمیت برای چهار انژکتور مشاهده می‌شود که با افزایش قطر اریفیس، SMD ذرات موجود در اسپری که در واقع گویای کارایی و بازدهی بهتر یک انژکتور می‌باشد، کاهش می‌یابد. شکل ۹ تغییرات قطر میانگین ساوتر بر حسب تغییرات قطر اریفیس نشان می‌دهد.

۲-۶. تأثیر زاویه مارپیچ

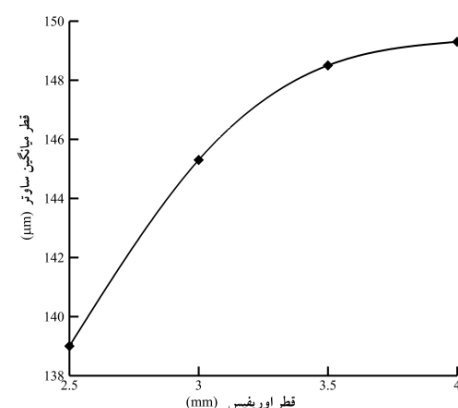
به منظور بررسی تأثیر تغییرات زاویه مارپیچ، سه انژکتور با زاویه مارپیچی متفاوت (انژکتورهای شماره‌های ۱، ۲ و ۳) در شرایط کاملاً برابر و یکسان مورد بررسی قرار می‌گیرند. این زوایا به ترتیب ۱۵، ۲۵ و 35° درجه می‌باشند. بررسی مؤلفه‌های سرعت ذرات نشان می‌دهد که سرعت‌های محوری و شعاعی با افزایش شعاع افزایش می‌یابد. در کل میدان پاشش، مؤلفه سرعت مماسی یکسان بوده و مقدار آن در مقایسه با دو مؤلفه دیگر انداز است. به دلیل اندکی بودن این مؤلفه، اثر قابل توجهی بر اندازه سرعت مطلق ندارد. شکل ۱۰ نمودار تغییرات قطر میانگین ساوتر بر حسب زاویه مارپیچ را نشان می‌دهد. نتایج نشان می‌دهد که با افزایش زاویه مارپیچ، قطر میانگین ساوتر قطرات کاهش ناچیزی پیدا

کار تجربی پیشین، توزیع اندازه قطرات بعد از شکست اولیه به کمک روش PDA اندازه‌گیری شده و بهمین دلیل می‌توان از این نتایج به عنوان شرایط اولیه شبیه‌سازی اتمیزاسیون اسپری استفاده کرد. با توجه به شکل ۱۱ مقدار مناسب n برای تست‌های ۱ و ۲ به ترتیب ۳ و $\frac{2}{3}$ خواهد بود.

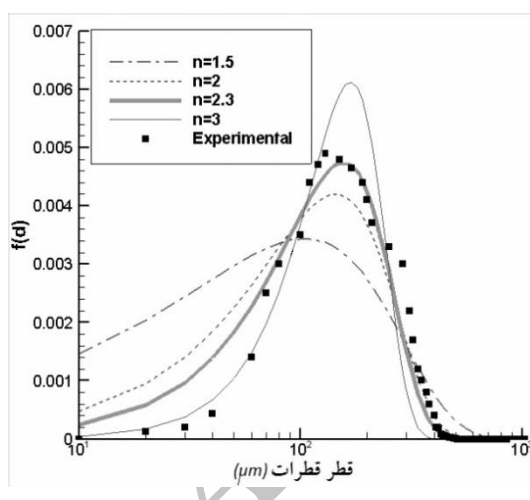


شکل ۸. تغییرات قطر میانگین ساوتر بر حسب تغییرات زاویه مارپیچی

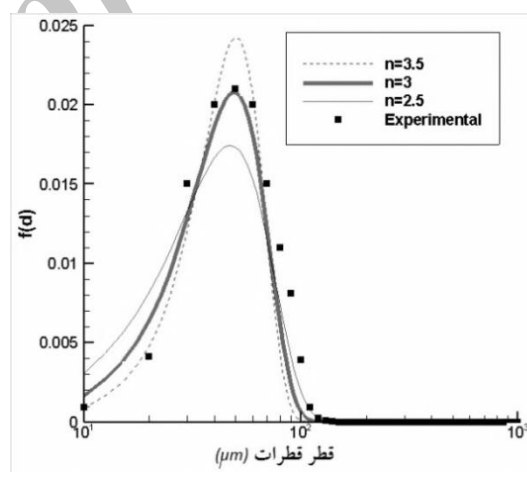
می‌کند. در این تابع، n پارامتر توزیع است که میزان پراکندگی یا یکنواختی (توزیع) اندازه قطرات را نشان می‌دهد. به دلیل ماهیت تابع توزیع که وابسته به نتایج تجربی است، این پارامتر نیز به کمک نتایج تجربی تعیین می‌شود. این پارامتر در اسپری‌های فشار بالا معمولاً در محدوده $\frac{3}{5}$ تا $\frac{3}{5}$ در نظر گرفته می‌شود در



شکل ۹. تغییرات قطر میانگین ساوتر بر حسب تغییرات قطر اریفیس



شکل ۱۰. توزیع اندازه قطرات؛ (ب) تست دوم براساس نتایج تجربی و عددی



(الف)

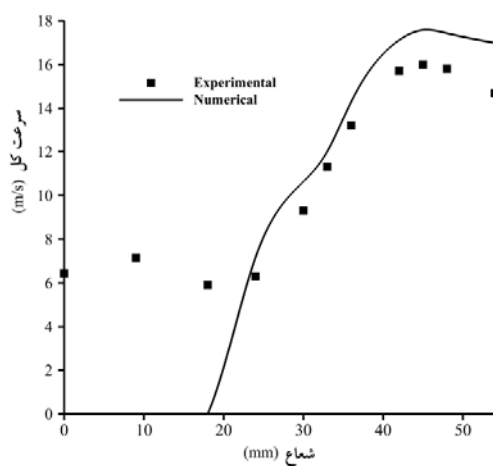
شکل ۱۰. توزیع اندازه قطرات؛ (الف) تست اول، (ب) تست دوم براساس نتایج تجربی و عددی

شده است. همان‌گونه که از شکل ۱۳ نیز مشخص است، طول نفوذ اسپری در تست اول بیشتر از تست دوم می‌باشد که به دلیل فشار تزریق بالاتر در تست اول می‌باشد. از طرف دیگر به علت کارکرد اسپری در فشارهای پایین روند تغییر طول نفوذ در هر دو تست تقریباً خطی است.

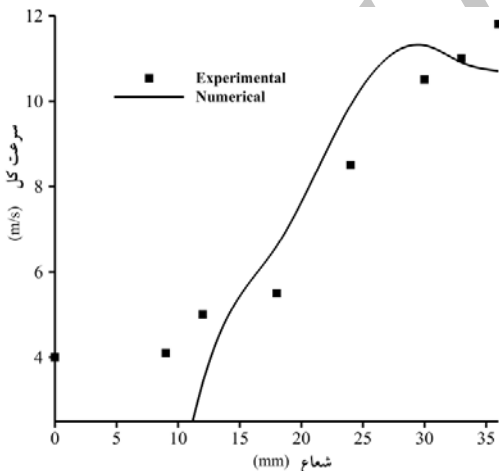
حال با استفاده از دو کمیت مهم در اسپری؛ یعنی سرعت و قطر میانگین قطرات، به بررسی صحت پارامترهای انتخابی در حل عددی پرداخته می‌شود.

بعد از اعمال این پارامترها و تکمیل مدل عددی اسپری حاصل از شبیه‌سازی در زمان $1/5$ میلی‌ثانیه بعد از پاشش به صورت کیفی در شکل ۱۲ نمایش داده شده است. در این شکل نمای دوبعدی اسپری و از روی در دو تست است. طول عمق نفوذ اسپری یکی از مشخصه‌های اساسی در بررسی عملکرد اسپری است. معمولاً طول نفوذ اسپری از مقطع خروجی انتکتور تا نقطه‌ای است که در هر لحظه ۹۹ درصد از جرم کل اسپری در آن محدوده جای بگیرد. در اینجا از طول نفوذ ۹۵ درصد استفاده

تنها به دلیل وجود هسته هوا به داخل این فضای خالی کشیده شده و در حال سقوط هستند. پس اختلاف مقادیر سرعت در محدوده میانی قابل اعماض بوده و دلیل بر خطای کار عددی محسوب نمی شود. نتایج نشان می دهد که غلظت قطرات در یال های کناری پاشش بسیار بالا بوده و خطای پایین در این نقاط (در تست های اول و دوم به ترتیب فاصله شعاعی ۳۰ تا ۴۸ میلی متر و ۱۸ تا ۳۳ میلی متر از مرکز پاشش) نشان دهنده دقت بالای شبیه سازی خواهد بود.

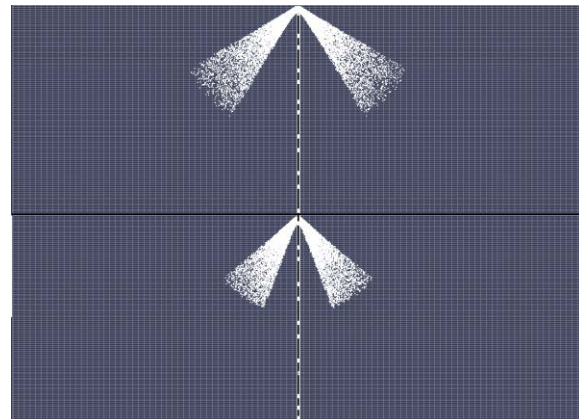


شکل ۱۴. تغییرات سرعت کل در راستای شعاعی براساس نتایج تجربی و عددی در تست اول

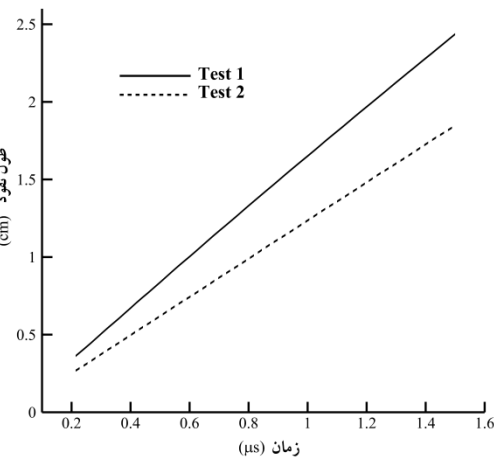


شکل ۱۵. تغییرات سرعت کل در راستای شعاعی براساس نتایج تجربی و عددی در تست دوم

نتایج تجربی نشان می دهد که سرعت قطرات اسپری در یال های بیرونی پاشش افت محسوسی دارد. افت سرعت مخصوصاً در شکل ۱۵ مشاهده می شود که این کاهش ناشی از پیچش جریان و یا اصطلاحاً ورتكس ایجاد شده در نوک اسپری



شکل ۱۲. شکل کیفی اسپری پاشش شده به دامنه محاسباتی در تست اول (بالا) و تست دوم (پایین) به صورت دوبعدی



شکل ۱۳. تغییرات طول نفوذ اسپری با زمان

۱-۲-۵. سرعت

تغییرات سرعت قطرات در راستای خط عمود بر محور پاشش در فاصله ۳ سانتی متری از نازل براساس ورودی های اعمال شده در شکل های ۱۴ و ۱۵ نمایش داده شده است. درصد خطای بین داده های تجربی و محاسبات عددی نیز در جدول ۴ ارائه شده است. همان طور که انتظار می رفت، مدل عددی قادر به شبیه سازی سرعت قطرات در قسمت میانی و توخالی اسپری نیست، زیرا اساساً در مدل عددی قطرات تنها مجاز به حرکت در فضای بین زاویه پاشش هستند و دلیل اختلاف زیاد بین مقادیر عددی و تجربی در شعاع های نزدیک به قسمت توخالی اسپری نیز همین دلیل است. البته وجود این اختلاف در این محدوده از درجه اهمیت پایینی برخوردار است؛ زیرا قطرات سرگردان موجود در این محدوده، که غلظت بسیار کمی نیز در مقایسه با قسمت میانی چتر پاشش دارند، اساساً جزو ماهیت اصلی اسپری به شمار نمی روند و

ذکر شد، در انژکتور مبنای ۱ به دلیل زاویه پاشش بالاتر آشکارتر خواهد بود. همان‌طور که در شکل نیز مشاهده می‌شود، سرعت قطرات در بدنه مخروط پاشش، مقادیر مشابهی با نتایج تجربی دارد. در واقع بررسی عددی توانسته مناطقی از چتر پاشش که غلظت بسیار بیشتری از قطرات در آن حضور دارند را با دقت قابل قبولی شبیه‌سازی کند.

است. در واقع به علت حرکت قطرات در محیط، دائمًا تنشی برشی روی هوا اعمال شده و سرانجام سبب چرخش آن می‌شود. در نتیجه به دلیل برهم‌کنش بین ورتکس هوا و اسپری، قطرات کوچکتر به این محدوده ورتکسی کشیده شده و به سمت بالا حرکت می‌کنند [۱۰]. به همین دلیل سرعت اسپری در مراتبی بیرونی کاهش پیدا می‌کند. این چرخش همان‌طور که پیش از این

جدول ۴. خطای بین مقادیر سرعت حاصل از کار تجربی و عددی

| تست ۲ | | تست ۱ | |
|--------------------------------|-----------------|--------------------------------|-----------------|
| درصد خطای سرعت محاسبه شده عددی | شعاع (میلی‌متر) | درصد خطای سرعت محاسبه شده عددی | شعاع (میلی‌متر) |
| - | - | - | - |
| - | ۹ | - | ۹ |
| ۳۲ | ۱۲ | - | ۱۸ |
| ۹/۷۳۴ | ۱۸ | ۱۳/۸۰۹ | ۲۴ |
| ۱۰/۲۸۵ | ۲۴ | ۱۴/۳۰۱ | ۳۰ |
| ۷/۶۱۹ | ۳۰ | ۶/۲۸۳ | ۳۳ |
| ۰/۹۰۹ | ۳۳ | ۸/۳۳۳ | ۳۶ |
| ۹/۳۲۲ | ۳۶ | ۸/۹۸۰ | ۴۲ |
| - | - | ۹/۸۷۵ | ۴۵ |
| - | - | ۱۰/۳۱۶ | ۴۸ |
| - | - | ۱۵/۵۱۰ | ۵۴ |

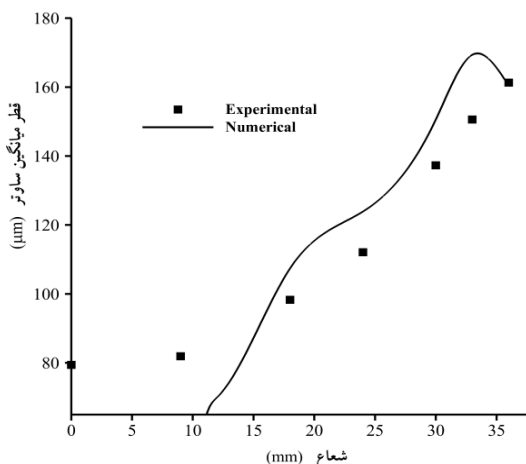
در این محدوده این اختلاف چشمگیر نبوده و از درجه اهمیت پایینی برخوردار است. در واقع وقتی کار عددی می‌تواند قابل قبول محسوب شود که بتواند رفتار اسپری را نواحی‌ای که تعداد و غلظت قطرات بالاست به خوبی پیش‌بینی کند. از طرفی با بررسی شکل‌های ۱۶ و ۱۷ و جدول ۵ مشاهده می‌شود که در بدنه اصلی چتر پاشش (در تست‌های اول و دوم به ترتیب فاصله شعاعی ۳۰ تا ۴۸ میلی‌متر و ۱۸ تا ۳۳ میلی‌متر از مرکز پاشش) که در آن غلظت قطرات بیشترین مقدار است، نتایج عددی توانسته تطابق قابل قبول و خوبی با نتایج تجربی پیدا کند که نشان از دقت بالای شبیه‌سازی عددی است.

مقایسه شکل‌های ۱۴ و ۱۶ با یکدیگر و همچنین شکل‌های ۱۵ و ۱۷ با هم نشان می‌دهد که قطرات با SMD بالاتر، سرعت بیشتر و درنتیجه اندازه حرکت بزرگتری دارند که پیش از این نیز در نتایج تجربی مشاهده شد. این نتیجه در انژکتورهای ماریچی و فشاری - پیچشی که اسپری مخروطی دارند، رایج می‌باشد. این

۴-۲-۵. قطر میانگین ساوتر

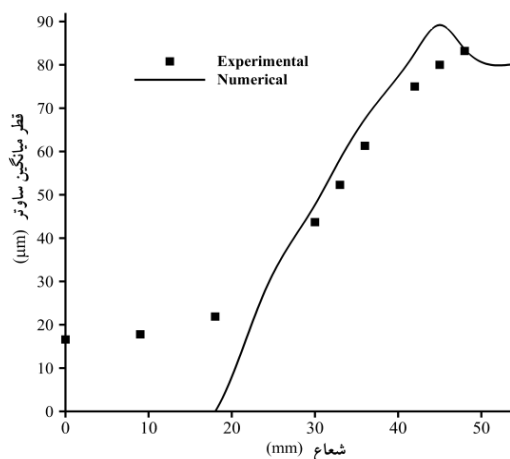
مقایسه تغییرات قطر میانگین ساوتر حاصل از نتایج عددی و تجربی نیز در راستای خط عمود بر محور پاشش در فاصله ۳ سانتی‌متری از نازل در شکل‌های ۱۶ و ۱۷ و اختلاف بین نتایج عددی و تجربی نیز در جدول ۵ ارائه شده است. همان‌گونه که در قسمت قبل نیز بیان شد، وجود اختلاف بین مقادیر عددی و تجربی در شعاع‌های نزدیک به محور پاشش، به علت وجود قطرات سرگردان و با تعداد بسیار کم در هسته هوای داخلی اسپری است و دلیل بر خطای کار عددی در این محدوده نیست. همچنین با توجه به اینکه در نواحی نزدیکتر به قسمت بیرونی مرز اسپری قطرات در معرض توده هوای بیشتر بوده و به علت ورتکس ایجاد شده و تجمع بیشتر قطرات ریزتر در شعاع‌های نزدیک به محیط بیرونی اسپری، به همین دلیل قطر میانگین کاهش یافته و دچار افت می‌شود. اگرچه در این نواحی بین نتایج تجربی و عددی اختلاف موجود می‌آید، اما باز هم به دلیل پایین بودن تعداد قطرات

پیش‌بینی نتایج مورد نظر را داراست و کمیت‌های ارائه شده در هر دو تست مناسب و قابل قبول می‌باشند. پس این مدل قابل اطمینان بوده و می‌توان از آن به همراه کمیت‌های تعیین شده و مستقل از نتایج تجربی استفاده کرد.



شکل ۱۷. تغییرات قطر متوسط ساوتر در راستای شعاعی
براساس نتایج تجربی و عددی در تست دوم

قطرات به دلیل قطر و سرعت بالا، نیروی پسای بیشتری را حس می‌کنند و در ادامه به قطرات ریزتر تبدیل می‌شوند. از مقایسه نتایج عددی و آزمایشگاهی در قسمت‌های قبل چنین بر می‌آید که پارامترهای تعیین شده در مدل‌های عددی به خوبی توانایی



شکل ۱۶. تغییرات قطر متوسط ساوتر در راستای شعاعی
براساس نتایج تجربی و عددی در تست اول

جدول ۵. خطای بین مقادیر قطر میانگین ساوتر کار تجربی و عددی

| تست ۲ | تست ۱ |
|-------------------------------|-------------------------------|
| درصد خطای SMD محاسبه شده عددی | درصد خطای SMD محاسبه شده عددی |
| - | - |
| - | - |
| ۱۷/۶۴۷ | ۹ |
| ۹/۲۵۷ | ۱۸ |
| ۱۰/۵۲۶ | ۲۴ |
| ۹/۶۸۶ | ۳۰ |
| ۱۲/۴۸۳ | ۳۳ |
| ۰/۵۵۷ | ۳۶ |
| - | - |
| - | - |
| - | - |

استفاده از نتایج تجربی شبیه‌سازی عددی اسپری با استفاده از نرم‌افزار اوپن‌فوم انجام و با تعیین پارامترهای عددی، یک مدل حل سازگار با اسپری مخروطی این انژکتور ارائه شد. نتایج کلی این تحقیق در سه بند زیر خلاصه شده است:

۱. نتایج تجربی نشان می‌دهد که افزایش زاویه ماریچ و کاهش قطر اریفیس خروجی انژکتور قطر میانگین

۶. جمع‌بندی

در این مقاله یک انژکتور ماریچی مورد بررسی تجربی و شبیه‌سازی عددی قرار گرفت. با به کارگیری سیستم لیزری PDA سرعت، قطر و غلظت قطرات در نقاط مشخص از اسپری اندازه‌گیری شد. با تحلیل نتایج تجربی تأثیر پارامترهای هندسی و شرایط جریانی روی اسپری انژکتورهای ماریچی بررسی شد. با

حاصل از توزیع قطر قطرات (تغییرات SMD) و سرعت قطرات تطابق خوبی با داده‌های تجربی دارند.

۳. مدل‌های LISA وتابع توزیع رزین-راملر ارائه شده در این تحقیق پیش از این به طور گستردگی در بررسی اسپری‌های فشار بالا مورد استفاده قرار گرفته بود و بهمراه پارامترهای پیش‌فرضشان قابلیت شبیه‌سازی اسپری‌های فشار پایین را نداشت. پس از تنظیم پارامترهای آن‌ها و ارائه مقادیر ضریب شکست اولیه (C_t) ۵ و ۳ برای تست‌های اول و دوم و همچنین مقادیر پارامتر توزیع (n) ۳ و ۲/۳ برای تست‌های اول و دوم، مدل عددی به خوبی قادر به شبیه‌سازی اسپری‌های فشار پایین (در محدوده فشاری این مقاله) گردید.

ساوخر قطرات را کاهش داده و سبب افزایش کیفیت اسپری اتزکتور می‌شوند که البته تأثیر تغییر قطر اوریفیس به مراتب محسوس‌تر از تغییرات زاویه مارپیچ است.

۲. نمودارهای توزیع سرعت و SMD در هر دو تست و در نتایج عددی و تجربی بیانگر این است که هرچه از مرکز پاشش به سمت کناره‌های مخروط پاششی حرکت کنیم، به سرعت و قطر قطرات افزوده شده تا اینکه در نهایت قطرات موجود در محدوده‌های بیرونی یال پاشش، بیشترین قطر و سرعت را دارند. علت اصلی این توزیع، حرکت هوای اطراف از خارج به داخل چتر پاشش می‌باشد که قطرات ریزتر را با خود به مرکز چتر پاشش حمل می‌کند. در این مدل‌سازی، نتایج عددی

۷. مأخذ

- [1] N. Ashgriz, *Handbook of atomization and sprays: theory and applications*, Springer Science & Business Media, 2011.
- [2] E. Babinsky, P. Sojka, Modeling drop size distributions, *Progress in energy and combustion science*, Vol. 28, pp. 303-329, 2002.
- [3] Z. Han, S. Parrish, P. V. Farrell, R. D. Reitz, Modeling atomization processes of pressure-swirl hollow-cone fuel sprays, *Atomization and Sprays*, Vol. 7, 1997.
- [4] N. Dombrowski, W. Johns, The aerodynamic instability and disintegration of viscous liquid sheets, *Chemical Engineering Science*, Vol. 18, pp. 203-214, 1963.
- [5] X. Li, R. Tankin, On the temporal instability of a two-dimensional viscous liquid sheet, *Journal of Fluid Mechanics*, Vol. 226, pp. 425-443, 1991.
- [6] P. Senecal, D. P .Schmidt, I. Nouar, C. J. Rutland, R. D. Reitz, M. Corradini, Modeling high-speed viscous liquid sheet atomization, *International Journal of Multiphase Flow*, Vol. 25, pp. 1073-1097, 1999.
- [7] D. P. Schmidt, I. Nouar, P. Senecal, C. Rutland, J. Martin, R. D. Reitz, et al., Pressure-swirl atomization in the near field, *SAE transactions*, Vol. 108, pp. 471-484, 1999.
- [8] S. E. Parrish, Spray Characterization in a Motored Direct-Injection Spark-Ignited Engine, Ph.D. Thesis, The University of Wisconsin-Madison, 1997.
- [9] Y. -S. Shim, G. -M. Choi, D. -J. Kim, Numerical and experimental study on hollow-cone fuel spray of highpressure swirl injector under high ambient pressure condition, *Journal of Mechanical Science and Technology*, Vol. 22, pp. 320-329, 2008.
- [10] S. H. Bafeqr, M. Shams, R. Ebrahimi, A. Shadaram, Numerical simulation of pressure-swirl spray dispersion by using eulerian-lagrangian Method, *Journal of Dispersion Science and Technology*, Vol. 32, pp. 47-55, 2010.
- [11] I. Elbadawy , P. H. Gaskell, M. Lawes, H. M. Thompson, Numerical investigation of the effect of ambient turbulence on pressure swirl spray characteristics, *International Journal of Multiphase Flow*, Vol. 77, pp. 271-284, 2015.
- [12] J. -W. Ding, G. -X. Li, Y. -S. Yu, H. -M. Li, Numerical Investigation on Primary Atomization Mechanism of Hollow Cone Swirling Sprays, *International Journal of Rotating Machinery*, Vol. 2016.

- [13] M. Naghizadeh, A. Ghahremani, M. H. Saidi, Numerical simulation of spray characteristics of bio-ethanol and its blend with gasoline in a direct injection combustion chamber, *Modares Mechanical Engineering*, Vol. 15, pp. 112-122, 2015.
- [14] M. Jammohammadi, A. Kebraei, M. Farshchi, Numerical simulation of flow field inside and outside the pressure swirl injectors, in 14th International Conference of Iranian Aerospace Society, Tehran, 2014.
- [15] M. Soltani, K. Ghorbanian, M. Ashjaee, M. Morad, Spray characteristics of a liquid-liquid coaxial swirl atomizer at different mass flow rates, *Aerospace science and technology*, Vol. 9, pp. 592-604, 2005.
- [16] C. D. Radke, Experimental characterization of a liquid-liquid co-axial swirl rocket injector using non-invasive optical and X-ray techniques, 2012.
- [17] M. Rashad, H. Yong, Z. Zekun, Effect of geometric parameters on spray characteristics of pressure swirl atomizers, *International Journal of Hydrogen Energy*, Vol. 41, No. 35, pp. 15790-15799, 2016.
- [18] Z. Zhang, Q. Chen, Comparison of the Eulerian and Lagrangian methods for predicting particle transport in enclosed spaces, *Atmospheric Environment*, Vol. 41, pp. 5236-5248, 2007.
- [19] M. Fogliati, D. Fontana, M. Garbero, M. Vanni, G. Baldi, R. Donde, CFD simulation of paint deposition in an air spray process, *JCT research*, Vol. 3, pp. 117-125, 2006.
- [20] T. -H. Shih, W. Liou, A. Shabbir, Z. Yang, J. Zhu, A new k-epsilon eddy viscosity model for high Reynolds number turbulent flows: Model development and validation, 1994.
- [21] F. Peng, S. K. Aggarwal, A review of droplet dynamics and vaporization modeling for engineering calculations, in ASME 1994 International Gas Turbine and Aeroengine Congress and Exposition, pp. V003T06A003-V003T06A003.
- [22] F. P. Kärrholm, Numerical modelling of diesel spray injection, turbulence interaction and combustion: Chalmers University of Technology, 2008.
- [23] T. Inamura, H. Tamura, H. Sakamoto, Characteristics of liquid film and spray injected from swirl coaxial injector, *Journal of propulsion and Power*, Vol. 19, pp. 632-639, 2003.
- [24] J. Kennedy, High Weber number SMD correlations for pressure atomizers, *Journal of engineering for gas turbines and power*, Vol. 108, pp. 191-195, 1986.
- [25] W. Hagerty, J. Shea, A study of the stability of plane fluid sheets, *J. Appl. Mech*, Vol. 22, pp. 509-514, 1955.
- [26] N. Dombrowski, P. Hooper, The effect of ambient density on drop formation in sprays, *Chemical Engineering Science*, Vol. 17, pp. 291-305, 1962.
- [27] T. Maric, J. Hopken, K. Mooney, *The OpenFOAM technology primer*, 2014.

پی‌نوشت

-
- 1. OpenFOAM
 - 2. pressure-swirl
 - 3. spiral
 - 4. sauter mean diameter
 - 5. short waves
 - 6. long waves
 - 7. phase Doppler anemometry
 - 8. laser induced exciplex fluorescence
 - 9. fire
 - 10. humidity fire
 - 11. fixture
 - 12. discrete phase method
 - 13. tracking
 - 14. ligament
 - 15. Rosin-Rammler
 - 16. PIMPLE
 - 17. Parcel